

# 光学课程作业

## Homework of Optics

丁毅

中国科学院大学，北京 100049

Yi Ding

University of Chinese Academy of Sciences, Beijing 100049, China

2024.9 – 2025.1

## 序言

本文为笔者本科时的“光学”课程作业 (Homework of Optics, 2024.9-2025.1)。本门课程笔记和其他科目的笔记、作业, 例如热学、电磁学、电路原理和数学物理方法等, 也可以在我的 [GitHub > LatexNotes](#) 仓库上找到。

每次提交作业, 老师给予批阅反馈之后, 会对原作业内容进行修改、订正, 以期达到满分作业的参考标准。但是, 由于个人学识浅陋, 认识有限, 文中难免有不妥甚至错误之处, 望读者不吝指正。读者可以将错误发送到我的邮箱 [dingyi233@mailsucas.ac.cn](mailto:dingyi233@mailsucas.ac.cn), 也可以到笔者的 [GitHub \(https://github.com/YiDingg/LatexNotes\)](https://github.com/YiDingg/LatexNotes) 上提 [issue](#), 衷心感谢。

---

## 目录

序言	I
目录	I
1 第一章作业	1
2 第二章作业	4
3 第三章作业	7
4 第四章作业	9
附录 A Matlab 代码	18

## Homework 1: 第一章作业

### 1.1 求入射到光纤的角度满足的条件

$$n_0 \sin i = n_g \sin i', \quad n_g \sin\left(\frac{\pi}{2} - i'\right) = n_c \sin \frac{\pi}{2} \Rightarrow i \leq \arcsin\left(\frac{n_g}{n_0} \sqrt{1 - \frac{n_c^2}{n_g^2}}\right) \quad (1.1)$$

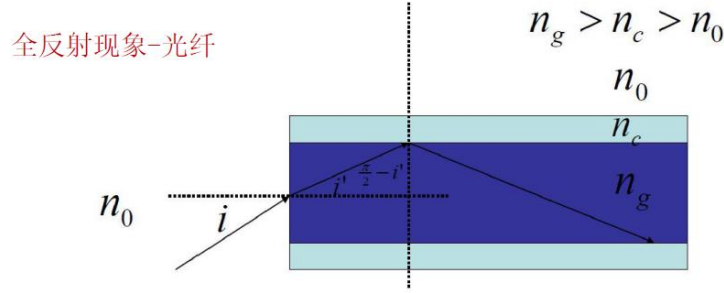


图 1.1: 求入射到光纤的角度满足的条件

### 1.2 推导光线轨迹方程

在  $x-y$  平面中, 设  $y = y(x)$  表示光线的轨迹方程,  $n = n(y)$  表示介质的折射率。由几何关系, 我们有:

$$\frac{dy}{dx} = \tan \theta = \frac{1}{\tan i} = \frac{\sqrt{1 - \sin^2 i}}{\sin i} \quad (1.2)$$

由折射定律, 记  $[n(y) \sin i(y)]_{y=0} = C$ , 则我们有:

$$n(y) \sin i(y) = C \Rightarrow \frac{dy}{dx} = \frac{\sqrt{n^2 - C^2}}{C^2}, \quad \left(\frac{dy}{dx}\right)^2 = \frac{n^2}{C^2} - 1 \quad (1.3)$$

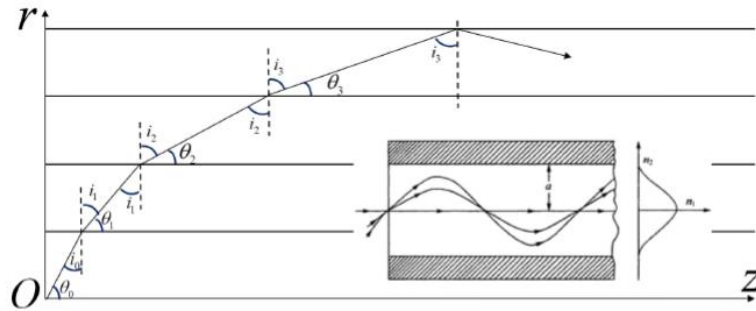
两边同时对  $x$  求导, 得到:

$$2 \left(\frac{dy}{dx}\right) \left(\frac{d^2y}{dx^2}\right) = \frac{1}{C^2} \left(\frac{dn^2}{dy}\right) \left(\frac{dy}{dx}\right) \Rightarrow \frac{d^2y}{dx^2} = \frac{1}{2C^2} \cdot \frac{dn^2}{dy} \quad (1.4)$$

也即

$$\frac{d^2y}{dx^2} = \frac{1}{2n_0^2 \sin^2 i_0} \cdot \frac{dn^2}{dy} = \frac{1}{2n_0^2 \cos^2 \theta_0} \cdot \frac{dn^2}{dy} \quad \square \quad (1.5)$$

### 折射率连续变化的介质中的折射



折射定律:  $n_0 \sin i_0 = n_1 \sin i_1 = n_2 \sin i_2 = n_3 \sin i_3 = \dots$

图 1.2: 推导光线轨迹方程

事实上, 在三维坐标系中考虑上述过程, 或者利用费马原理和变分法, 又或考虑哈密顿光学, 可以得到更一般的形式, 称为光路方程, 如下:

$$\nabla n = \frac{d}{ds} \left( n \frac{d\vec{r}}{ds} \right) \quad (1.6)$$

### 1.3 (已被删去)

### 1.4 利用费马原理给出物像关系

折射球面如图, 由余弦定理可知:

$$\text{OPL} = np + n'p' = n\sqrt{r^2 + (s+r)^2 - 2r(s+r)\cos\phi} + n'\sqrt{r^2 + (s'-r)^2 + 2r(s'-r)\cos\phi} \quad (1.7)$$

由费马原理,  $\frac{d\text{OPL}}{d\phi} = 0$ , 于是:

$$\frac{-nr(s+r)\sin\phi}{p} + \frac{n'r(s'-r)\sin\phi}{p'} = 0 \Rightarrow \frac{n}{p} + \frac{n'}{p'} = \frac{1}{R} \left( \frac{n's'}{p'} - \frac{ns}{p} \right) \quad (1.8)$$

在傍轴条件下, 有  $s \approx p$ ,  $s' \approx p'$ , 于是:

$$\frac{n}{s} + \frac{n'}{s'} = \frac{n' - n}{R} \quad \square \quad (1.9)$$

证毕。

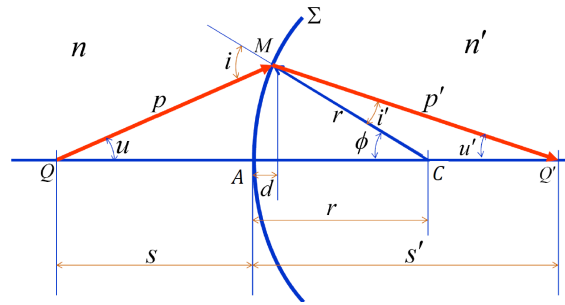


图 1.3: 折射球面物像关系

### 1.5 推导反射球面的物像公式

这里要注意, 由于像是虚像,  $l_2$  贡献虚光程 (为负), 且  $s_2 < 0$ , 因此圆心到像点的距离为  $r + s_2$  而非  $r - s_2$ 。同由余弦定理, 写出光程 OPL, 有:

$$\text{OPL} = n_1 l_1 - n_2 l_2 = n_1 \sqrt{r^2 + (r + s_1)^2 - 2r(r + s_1)\cos\phi} - n_2 \sqrt{r^2 + (r + s_2)^2 - 2r(r + s_2)\cos\phi} \quad (1.10)$$

由费马原理,  $\frac{d\text{OPL}}{d\phi} = 0$ , 于是有:

$$\frac{-n_1 r(r + s_1)\sin\phi}{l_1} + \frac{n_2 r(r + s_2)\sin\phi}{l_2} = 0 \Rightarrow \frac{n_2}{l_2} - \frac{n_1}{l_1} = \frac{1}{r} \left( \frac{n_1 s_1}{l_1} - \frac{n_2 s_2}{l_2} \right) \quad (1.11)$$

傍轴时, 有  $s_1 \approx l_1$ ,  $s_2 \approx -l_2$ , 于是:

$$-\frac{n_2}{l_2} - \frac{n_1}{l_1} = \frac{1}{r}(n_1 + n_2) \quad (1.12)$$

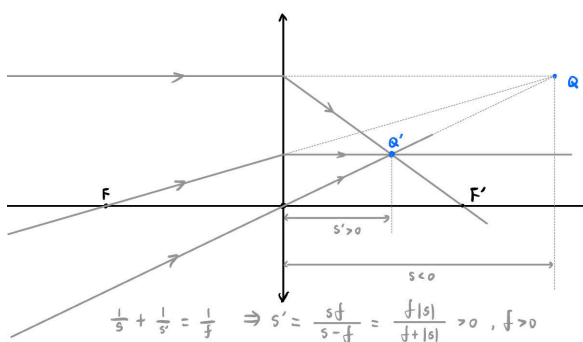
当反射球面两侧为相同介质时,  $n_1 = n_2$ , 则:

$$\frac{1}{s_1} + \frac{1}{s_2} = -\frac{2}{r} \quad \square \quad (1.13)$$

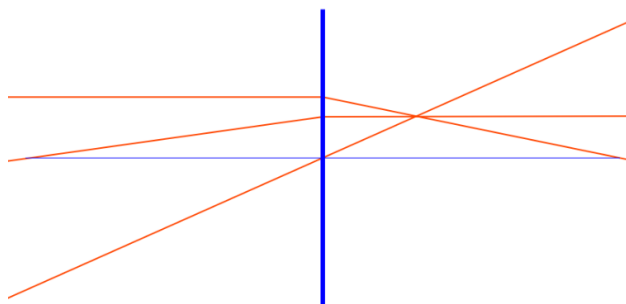
证毕。

## 1.6 画出图中的像点

如下图所示, 左侧为手绘图, 右侧为光路仿真软件 **Optico** 效果图。

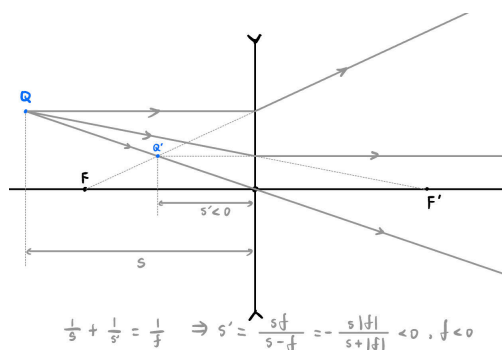


(a) 手绘图

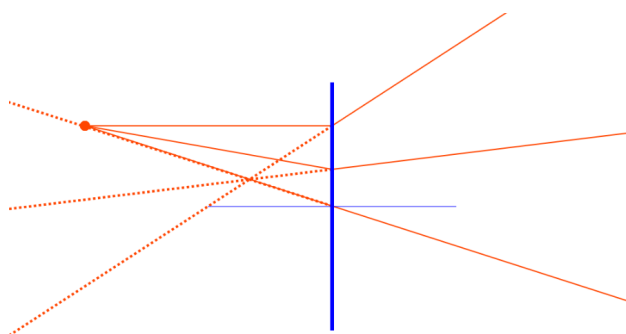


(b) 光路仿真

图 1.4: 画出虚物  $Q$  的像点  $Q'$

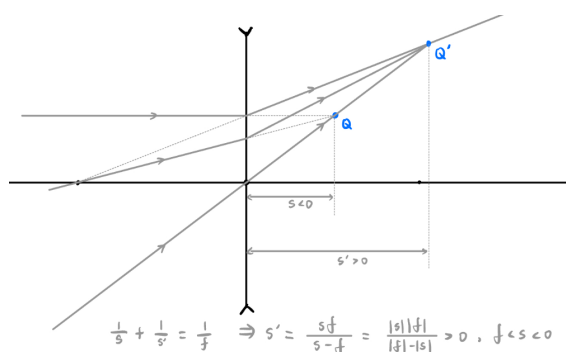


(a) 手绘图

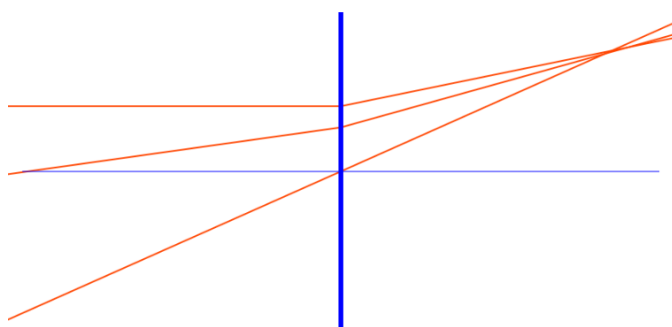


(b) 光路仿真

图 1.5: 画出实物  $Q$  经凹透镜的像点  $Q'$



(a) 手绘图



(b) 光路仿真

图 1.6: 画出虚物  $Q$  经凹透镜的像点  $Q'$

## Homework 2: 第二章作业

### 2.1 对于正入射的情况, 写出菲涅尔公式

菲涅尔公式如下:

类型	振幅反射系数 $r$		振幅透射系数 $t$	
s 波	$r_s = \frac{n_i \cos \theta_i - n_t \cos \theta_t}{n_i \cos \theta_i + n_t \cos \theta_t}$	$-\frac{\sin(\theta_i - \theta_t)}{\sin(\theta_i + \theta_t)}$	$t_s = \frac{2n_i \cos \theta_i}{n_i \cos \theta_i + n_t \cos \theta_t}$	$+\frac{2 \sin \theta_t \cos \theta_i}{\sin(\theta_i + \theta_t)}$
p 波	$r_p = \frac{n_t \cos \theta_i - n_i \cos \theta_t}{n_t \cos \theta_i + n_i \cos \theta_t}$	$+\frac{\tan(\theta_i - \theta_t)}{\tan(\theta_i + \theta_t)}$	$t_p = \frac{2n_i \cos \theta_i}{n_i \cos \theta_t + n_t \cos \theta_i}$	$+\frac{2 \sin \theta_t \cos \theta_i}{\sin(\theta_i + \theta_t) \cos(\theta_i - \theta_t)}$

正入射时,  $\theta_i = \theta_t = 0$ , 于是有:

$$r_p = (-r_s) = \frac{n_t - n_i}{n_t + n_i}, \quad t_p = t_s = \frac{2n_i}{n_i + n_t} \quad (2.1)$$

$$F = R_s = R_p = \left( \frac{n_t - n_i}{n_t + n_i} \right)^2 \quad (2.2)$$

不妨作出相关的图像, 图 2.1 是 s 波、p 波振幅系数关于入射角  $\theta_i$  的变化情况<sup>①</sup>。

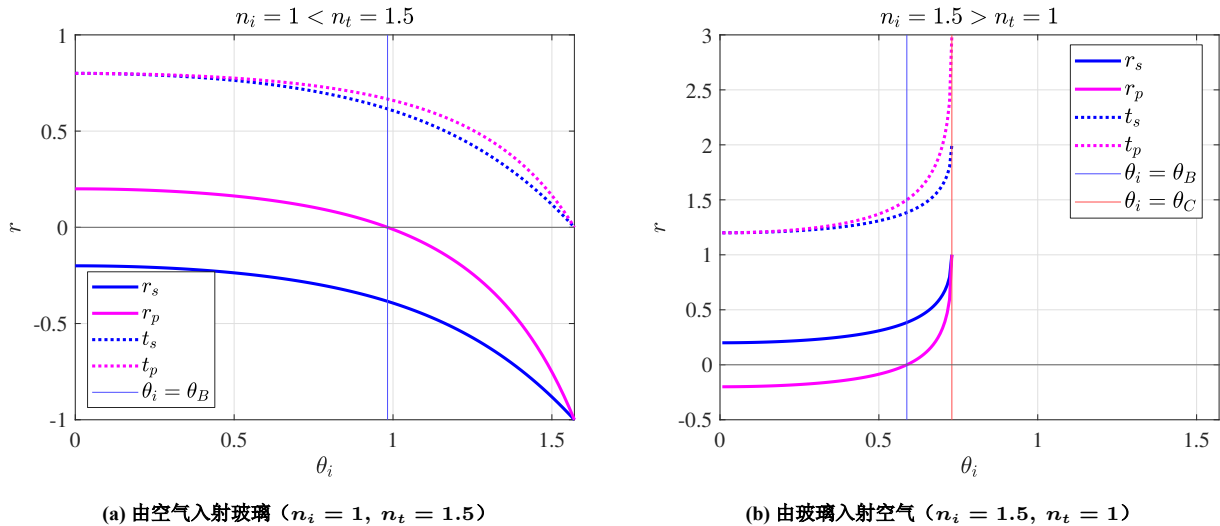


图 2.1: 振幅系数  $r$  随入射角  $\theta_i$  的变化

### 2.2 一自然光以 Brewster Angle 入射到空气中的一块玻璃, 已知功率透射率为 0.86。

#### (1) 求功率的反射率

$T = 0.86$ , 由能量守恒, 功率反射率  $R = 0.14$ 。

#### (2) 若输入为 1000 W, 求透射光 s 分量上的功率

光束为自然光, 因此 s 分量和 p 分量的功率相同, 都为 500 W, 也即  $\Phi_{e,i,s} = \Phi_{e,i,p} = 500$  W。又由 Brewster Angle 入射, 因此反射光的 p 分量为 0, 也即  $R_p = 0$ , 于是:

$$T_p = 1 - R_p = 1, \quad T_s = 2T - T_p = 0.72 \quad (2.3)$$

由此可求得透射光 s 分量上的辐射通量 (即辐射功率):

$$\Phi_{e,t,s} = T_s \Phi_{e,i,s} = 0.72 \times 500 \text{ W} = 360 \text{ W} \quad (2.4)$$

<sup>①</sup>源码见附录 A.1

**(3) 求玻璃的折射率**

虽然题目并未要求<sup>②</sup>, 但我们不妨求解一下玻璃的折射率  $n_t$ 。在题设条件下,  $R = 0.14$ , 默认空气折射率为 1, 则唯一的未知量是玻璃折射率  $n_t$ , 这是可以求解的, 方程如下:

$$R = \frac{1}{2}(R_s + R_p) = 0.14, \quad \theta_i = \theta_B = \arctan\left(\frac{n_t}{n_i}\right), \quad n_i = 1 \Rightarrow \quad (2.5)$$

$$\left[ \frac{\cos(\arctan n_t) - \sqrt{n_t^2 - \sin^2(\arctan n_t)}}{\cos(\arctan n_t) + \sqrt{n_t^2 - \sin^2(\arctan n_t)}} \right]^2 + \left[ \frac{n_t^2 \cos(\arctan n_t) - \sqrt{n_t^2 - \sin^2(\arctan n_t)}}{n_t^2 \cos(\arctan n_t) + \sqrt{n_t^2 - \sin^2(\arctan n_t)}} \right]^2 = 2 \times 0.14 \quad (2.6)$$

此方程有唯一未知量  $n_t$ , 用 Matlab 解此非线性方程组<sup>③</sup>, 得到玻璃折射率  $n_t$ , 以及其它参量<sup>④</sup>:

$$\begin{cases} n_t = 0.554902, & \theta_i = \theta_B = 29.025970^\circ \\ \theta_t = 60.974030^\circ, & \theta_C = 33.703947^\circ \\ R = 0.1400, & R_s = 0.280000, R_p = 0.000000 \\ T = 0.8600, & T_s = 0.720000, T_p = 1.000000 \end{cases} \quad \begin{cases} n_t = 1.802121, & \theta_i = \theta_B = 60.974030^\circ \\ \theta_t = 29.025970^\circ, & \theta_C = 90.000000^\circ \\ R = 0.1400, & R_s = 0.280000, R_p = 0.000000 \\ T = 0.8600, & T_s = 0.720000, T_p = 1.000000 \end{cases} \quad (2.7)$$

也即上述方程有两解, 考虑  $n_{ti} \in [0, 2]$ , 令方程左边为  $f(n_{ti})$ , 作出图像如右。图 2.2 说明了我们并没有漏掉其它解。

一般玻璃的折射率在 1.5 左右, 即使是特殊玻璃 (例如高折射率镜片), 也基本在 1.3 至 1.9 之间, 0.5 的玻璃折射率显然是不合理的, 即使是考虑介质折射率关于波长的变化 (如 X 射线或 Gamma 射线), 也不会达到如此低的折射率。因此舍去  $n_t = 0.554902$ , 最终得  $n_t = 1.802121$ 。

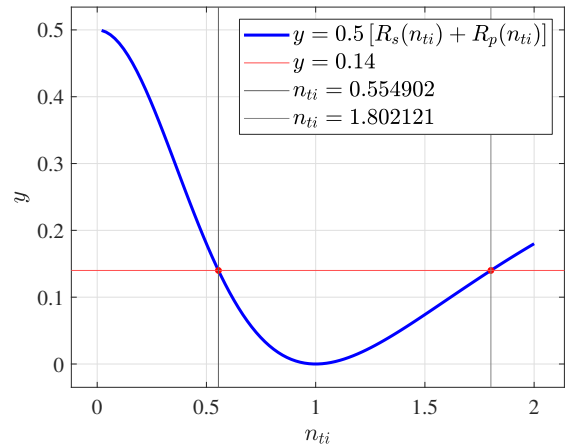


图 2.2: 方程 2.5 左边函数值随  $n_{ti}$  的变化情况

上题改编: 一自然光由空气入射玻璃, 玻璃折射率为 1.5, 已知功率透射率为 0.86。

**(1) 求功率的反射率:**

$T = 0.86$ , 由能量守恒, 功率反射率  $R = 0.14$ 。

**(2) 若输入为 1000 W, 求透射光 s 分量上的功率**

光束为自然光, 因此 s 分量和 p 分量的功率相同, 都为 500 W。先求解入射角  $\theta_i$ , 由菲涅尔定理和能量关系:

$$R = \frac{1}{2}(R_s + R_p), \quad R_s = \left[ \frac{\cos \theta_i - \sqrt{n_{ti}^2 - \sin^2 \theta_i}}{\cos \theta_i + \sqrt{n_{ti}^2 - \sin^2 \theta_i}} \right]^2, \quad R_p = \left[ \frac{n_{ti}^2 \cos \theta_i - \sqrt{n_{ti}^2 - \sin^2 \theta_i}}{n_{ti}^2 \cos \theta_i + \sqrt{n_{ti}^2 - \sin^2 \theta_i}} \right]^2 \quad (2.8)$$

其中  $n_i = 1$ ,  $n_t = 1.5$ , 因此  $n_{ti} = 1.5$ , 代入即得:

$$\left[ \frac{\cos \theta_i - \sqrt{1.5^2 - \sin^2 \theta_i}}{\cos \theta_i + \sqrt{1.5^2 - \sin^2 \theta_i}} \right]^2 + \left[ \frac{1.5^2 \cos \theta_i - \sqrt{1.5^2 - \sin^2 \theta_i}}{1.5^2 \cos \theta_i + \sqrt{1.5^2 - \sin^2 \theta_i}} \right]^2 = 2 \times 0.14 \quad (2.9)$$

<sup>②</sup> 查阅资料发现, 此题来自于光学 (尤金, 第五版) *Optics (Eugene Hecht)* 的 Page 152

<sup>③</sup> 源码见附录 A.2

<sup>④</sup> 图 2.2 源码见附录 A.4

用 Matlab 解此非线性方程组<sup>⑤</sup>, 得到入射角  $\theta_i$  和其它参量:

$$\begin{aligned}\theta_i &= 1.173220 \text{ rad} = 67.220559^\circ \\ R &= 0.140000, \quad R_s = 0.256933, \quad R_p = 0.023067 \\ T &= 0.860000, \quad T_s = 0.743067, \quad T_p = 0.976933\end{aligned}\quad (2.10)$$

于是透射光 s 分量上的辐射通量为:

$$\Phi_{e,t,s} = T_s \Phi_{e,i,s} = 0.743067 \times 500 \text{ W} = 371.5335 \text{ W} \quad (2.11)$$

### 2.3 光束垂直入射到玻璃-空气界面, 玻璃折射率 1.5, 求出能量反射率和透射率

$\theta_i = 0$  时, 由菲涅尔定律和能量关系, 有:

$$R = \frac{1}{2}(R_s + R_p), \quad T = 1 - R \quad (2.12)$$

$$R_s = \left[ \frac{\cos \theta_i - \sqrt{n_{ti}^2 - \sin^2 \theta_i}}{\cos \theta_i + \sqrt{n_{ti}^2 - \sin^2 \theta_i}} \right]^2 = \left[ \frac{1 - n_{ti}}{1 + n_{ti}} \right]^2, \quad R_p = \left[ \frac{n_{ti}^2 \cos \theta_i - \sqrt{n_{ti}^2 - \sin^2 \theta_i}}{n_{ti}^2 \cos \theta_i + \sqrt{n_{ti}^2 - \sin^2 \theta_i}} \right]^2 = \left[ \frac{n_{ti}^2 - n_{ti}}{n_{ti}^2 + n_{ti}} \right]^2 \quad (2.13)$$

由空气入射玻璃时,  $n_{ti} = 1.5$ , 由玻璃入射空气时,  $n_{ti} = \frac{2}{3}$ , 代入得到:

$$\text{空气入射玻璃: } R = 0.04, \quad T = 0.96$$

$$\text{玻璃入射空气: } R = 0.04, \quad T = 0.96$$

也即无论从哪边入射, 能量反射率和透射率分别为 0.04 和 0.96。

<sup>⑤</sup>源码见附录 A.3



### Homework 3: 第三章作业

**3.1** 在杨氏双缝实验中, 设两缝之间的距离为 **0.2 mm**, 在距双缝 **1 m** 远的屏上观察干涉条纹, 若入射光是波长为 **400 nm** 至 **760 nm** 的白光, 问屏上距零级明纹 **20 mm** 处, 哪些波长的光最大限度地加强?

也即求哪些波长的光在 **20 mm** 处是亮条纹。杨氏干涉中, 两相邻亮(暗)条纹的间距  $\Delta x = \frac{D\lambda}{d}$ , 其中  $D$  是双缝屏与屏幕的距离,  $d$  是双缝间距,  $\lambda$  是波长。因此有:

$$k\Delta x = 20 \text{ mm} \implies \lambda = \frac{d \cdot 20 \text{ mm}}{D} \cdot \frac{1}{k} = \frac{4}{k} \times 10^{-6}, \quad k = 1, 2, 3, \dots \quad (3.1)$$

而波长范围  $\lambda \in [400 \text{ nm}, 760 \text{ nm}]$ , 于是:

$$k \in [5.2632, 10] \implies k = 6, 7, 8, 9, 10, \quad \lambda = 400.0 \text{ nm}, 444.4 \text{ nm}, 500.0 \text{ nm}, 571.4 \text{ nm}, 666.7 \text{ nm} \quad (3.2)$$

**3.2** 在空气中用某单色光进行双缝干涉实验时, 观察到干涉条纹相邻明条纹的间距为 **1.33 mm**, 当把实验装置放在水中时(水的折射率为 **1.33**), 则相邻明条纹的间距变为多少?

空气折射率近似为 1, 设光在空气中的波长为  $\lambda$ , 则在水中的波长为  $\frac{\lambda}{n}$ , 其中  $n$  为水的折射率。而双缝干涉中相邻亮条纹间距为:

$$\Delta x = \frac{D\lambda}{d} \implies \Delta x' = \frac{\Delta x}{n} = 1 \text{ mm} \quad (3.3)$$

**3.3** 用波长为 **589.3 nm** 的钠黄光垂直照射长  $L = 20 \text{ mm}$  的空气尖劈, 测得条纹间距为  $1.18 \times 10^{-4} \text{ m}$ , 求钢球直径  $d$ 。

构成劈尖干涉, 相邻亮条纹间距为  $\Delta x = \frac{\lambda}{2 \tan \theta} \approx \frac{\lambda}{2\theta}$ , 设劈尖长为  $L$ , 倾角为  $\theta$ , 钢球的直径为  $D$ , 则有:

$$\tan \theta = \frac{D}{L} \implies D = L \tan \theta \approx \theta L = \frac{\lambda L}{2\Delta x} = 4.9941 \times 10^{-5} \text{ m} \quad (3.4)$$

即为所求直径。

**3.4** 厚度为 **0.050 mm** 的玻璃片, 其折射率为 **1.520**, 插入迈克尔孙干涉仪的一条光路中, 照明光为波长 **587.56 nm** 的氦黄线。求插入这片玻璃片移动了多少干涉条纹?

改变两干涉光束的光程差, 会使原干涉条纹发生移动。设  $n_f$  为玻璃片折射率,  $d$  为玻璃片厚度,  $\lambda_0$  为氦黄线在空气中的波长, 则有:

$$2n_f d = N\lambda_0 \implies N = \frac{2n_f d}{\lambda_0} = 258.6970 \quad (3.5)$$

**3.5** 迈克耳逊干涉仪两臂中分别加入 **20 cm** 长的玻璃管, 一个抽成真空, 一个充以一个大气压的氩气, 今以汞光线(波长为 **546.0 nm**)入射干涉仪, 如将氩气抽出, 发现干涉仪中条纹移动了 **205** 条, 求氩气的折射率。

抽成真空的玻璃管补偿了穿过玻璃管带来的光程, 因此没有引入附加光程差。与上题同理, 设  $n_f$  为氩气折射率,  $d$  为玻璃管长度,  $\lambda_0$  为汞光线在空气中的波长, 并近似空气折射率为 1, 则有:

$$2(n_f - 1)d = N\lambda_0 \implies n_f = \frac{N\lambda_0}{2d} + 1 = 1.0002798 \quad (3.6)$$

### 3.6 有一谱线结构, 谱线范围是 500 nm 至 501 nm, 若 F-P 标准具 $d = 0.5$ mm, 可否用它来分析这一谱线结构?

波长的自由光谱宽度  $(\Delta\lambda)_{\text{fsr}}$ 、最小分辨率  $(\Delta\lambda)_{\text{min}}$  和极限分辨率  $(\Delta\lambda)_{\text{lim}}$  分别为:

$$(\Delta\lambda)_{\text{fsr}} = \frac{\lambda_0^2}{2nd}, \quad (\Delta\lambda)_{\text{min}} = \frac{2\lambda_0}{\pi\sqrt{F}}, \quad (\Delta\lambda)_{\text{lim}} = \frac{\lambda_0^2}{\pi nd\sqrt{F}} \quad (3.7)$$

代入数据  $d = 0.5$  mm, 空气折射率近似  $n = 1$ , 并取能量反射率为典型值  $R = 0.90$ , 可以得到:

$$F = 80.0000, \quad (\Delta\lambda)_{\text{fsr}} = 0.2505 \text{ nm}, \quad (\Delta\lambda)_{\text{min}} = 0.0011 \text{ nm}, \quad (\Delta\lambda)_{\text{lim}} = 5.6382 \times 10^{-7} \text{ nm} \quad (3.8)$$

而谱线宽度  $\Delta\lambda = 1 \text{ nm} > (\Delta\lambda)_{\text{fsr}}$ , 因此, 无论光谱是连续谱还是分立谱, 虽然可以观察到明显的干涉条纹(对分立谱), 或者在频谱分析仪中看到明显的频率纵模(对连续谱), 但是都会出现严重的条纹越级, 因此不能用它来分析这一谱线结构。

## Homework 4: 第四章作业

### 4.1 对圆盘衍射, 当圆盘恰好包含 $n$ 个半波带时 (即 $n$ 个半波带被遮挡), 为何中心为亮斑?

我们先给出结论, 再作具体的讨论:

除了紧挨着圆盘后的一小段区域, 整个中轴线上处处呈亮态 (辐照度不为 0), 这与圆盘是否包含整数个半波带无关, 但可能是 (与圆盘平行的) 平面上的极小值。如果是圆孔衍射, 则当圆盘恰好包含偶数个半波带时, 中心为暗斑, 恰好包含奇数个半波带时, 中心为亮斑 (且是极大值)。

为了讨论圆盘衍射, 我们需要先给出菲涅尔衍射的基本原理 (菲涅尔波带法)。

#### (1) 球面波的传播 (菲涅尔波带法)

在菲涅尔衍射中, 之前的许多近似都不再成立, 需要建立另外一套理论基础。

由菲涅尔原理, 如果每个子波向一切方向都均匀地辐射, 那么除了产生一个向前进的波以外, 还会出现一个向波源后退的反向波。实验上并没有发现这样的波, 因此我们必须对次级发射体的辐射图样作某些修改。更详细的理论<sup>①</sup>表明, 次波源发射的光具有方向性, 由倾斜因子  $K = K(\theta)$  来描述, 它是次波源在不同方向光场的振幅系数:

$$K = K(\theta) = \frac{1}{2} (1 + \cos \theta), \quad E = K \frac{\varepsilon_A}{R} e^{i(kr - \omega t)} \quad (4.1)$$

如图 4.1, 由波带理论, 第  $m$  级半波带 (后文简称“波带”) 在点  $P$  的电场为:

$$E_m = (-1)^{m+1} \frac{2K_m \varepsilon_0}{\rho_0 + r_0} e^{i(k(\rho_0 + r_0) - \omega t)}, \quad \varepsilon_0 = \varepsilon_A \rho_0 \lambda \quad (4.2)$$

式中  $\varepsilon_0 = \varepsilon_A \rho_0 \lambda$  是波源强度, 即球面波表达式  $E = \frac{\varepsilon_0}{r} e^{i(kr - \omega t)}$  中的  $\varepsilon_0$ 。

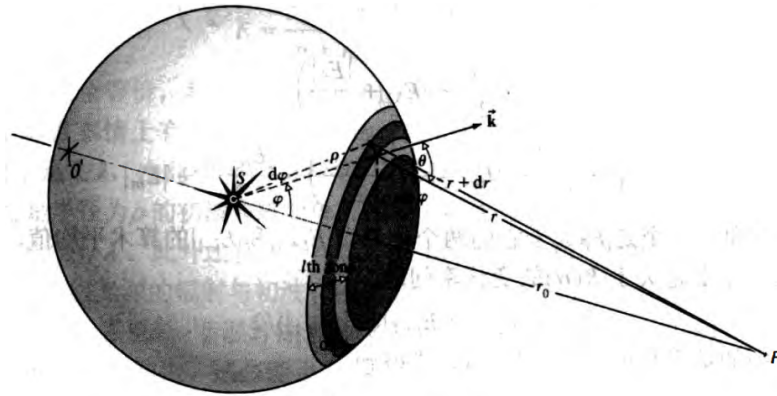


图 4.1: 球形波阵面的传播

#### (2) 圆孔近场衍射

我们指出, 虽然在数学上将半波带分为了无限多个, 但由于倾斜因子  $K(\theta)$  的存在, 认为小孔中只能“看到”有限个半波带是合适的。通过计算给定小孔上的半波带数目  $N_F$ , 可以得到中轴线上辐照度的一个良好近似。每个半波带的面积  $A$  由下式给出:

$$A = \pi \frac{r_0 \rho}{r_0 + \rho} \lambda \approx \pi r_0 \lambda \quad (4.3)$$

<sup>①</sup>基尔霍夫理论, 详见参考文献 [?] 的 10.4 节

对圆形小孔, 半波带数目为:

$$N_F = \frac{\pi a^2}{A} = \frac{(\rho_0 + r_0)a^2}{r_0 \rho_0 \lambda} \approx \frac{a^2}{r_0 \lambda} \quad (4.4)$$

上式中  $\rho$  和  $r_0$  分别是小孔到光源和观察点的距离,  $a$  是小孔的半径。  $N_F$  常称为菲涅耳数。保持小孔半径不变, 当点  $P$  从无穷远处向小孔靠近时,  $r_0$  由无穷到 0,  $N_F$  会由 0 逐渐增大为  $\infty$ 。

由图 4.2 (c) 可以看出在不同半波带数目下, 中轴线上的振幅情况。角度还可看出, 实际相位角与惠更斯-菲涅耳原理所预测的相位角的不同,  $O_s$  点的切线 (向右) 是惠更斯-菲涅耳原理的相位角, 而相矢量  $\vec{O_s A_s}$  的切线对应实际相位角。

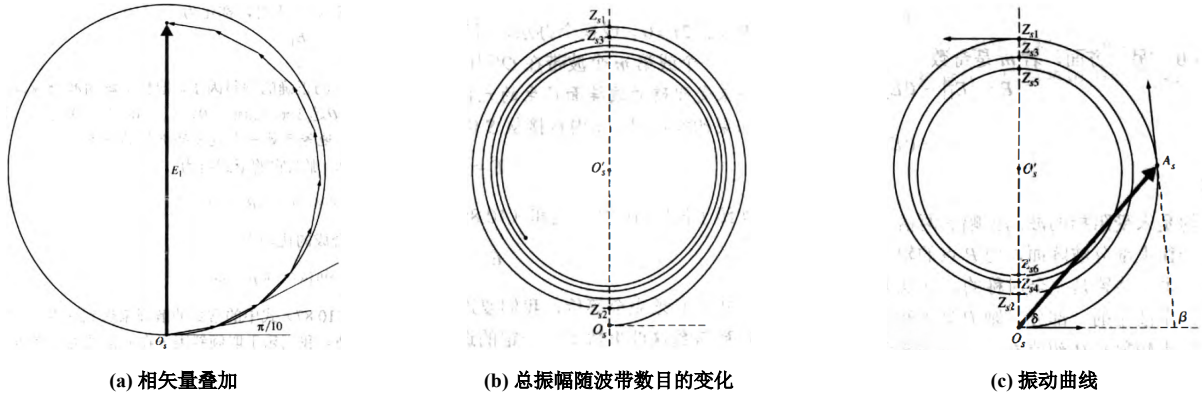


图 4.2: 利用波带和振动曲线来判断中轴线上的振幅情况

在固定直径的孔内, 由于  $A = \frac{\pi a^2}{N_F}$ , 随着  $N_F$  的增大, 每个波带的面积  $A$  会减小, 使得轴上辐照度的极大值将依  $\frac{1}{N_F^2}$  减小 (包络线)。一个定性的近似是  $I = I(0) \text{sinc}^2\left(\frac{\pi}{2} N_F\right)$ , 其中  $I(0)$  是  $N_F = 0$  ( $P$  点离小孔无穷远), 作出  $I$  关于  $N_F$  的变化情况, 如图 4.3 所示:

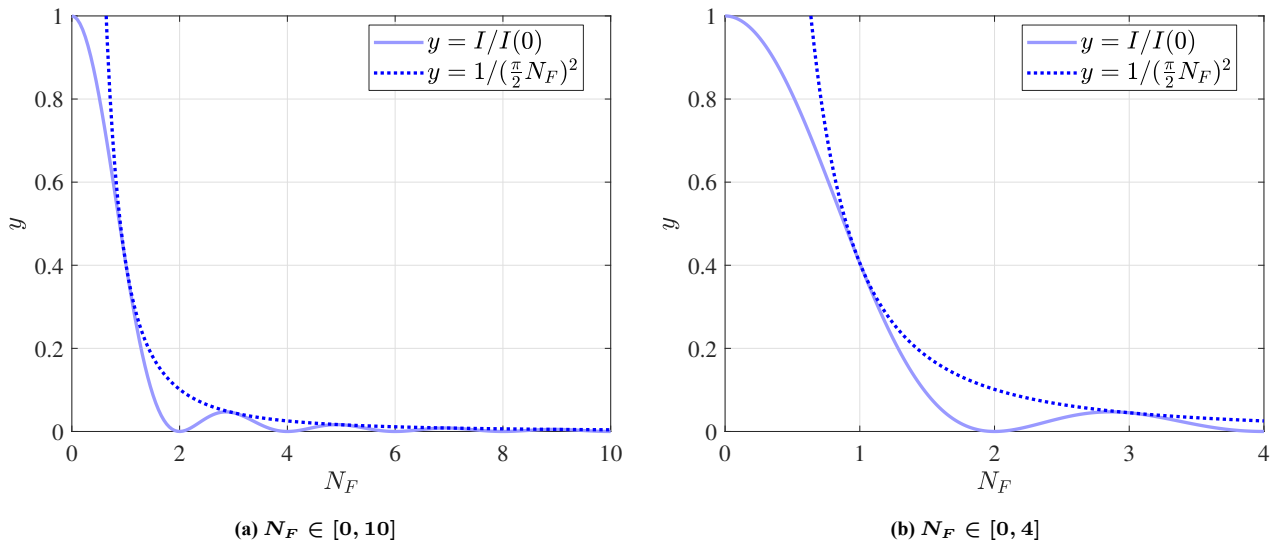


图 4.3: 中心振幅随波带数的变化

另外, 当观察点不在中轴线上时, 随着点  $P$  向外移动, “观察”到的波带也会发生变化, 如图 4.4, 此时辐照度会有一系列极大与极小值, 变化比较复杂。对整个观察平面而言, 所得衍射图样随着  $N_F$  的变化而变化, 如图 4.5 所示。

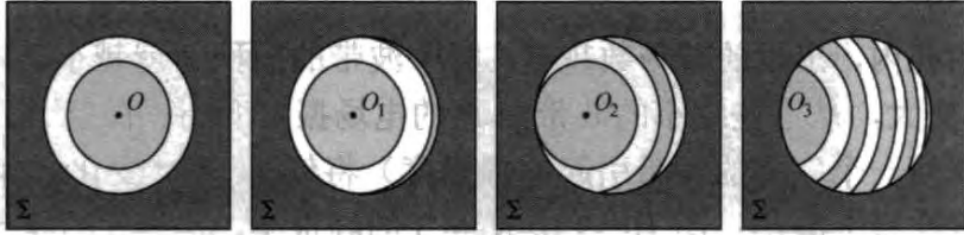
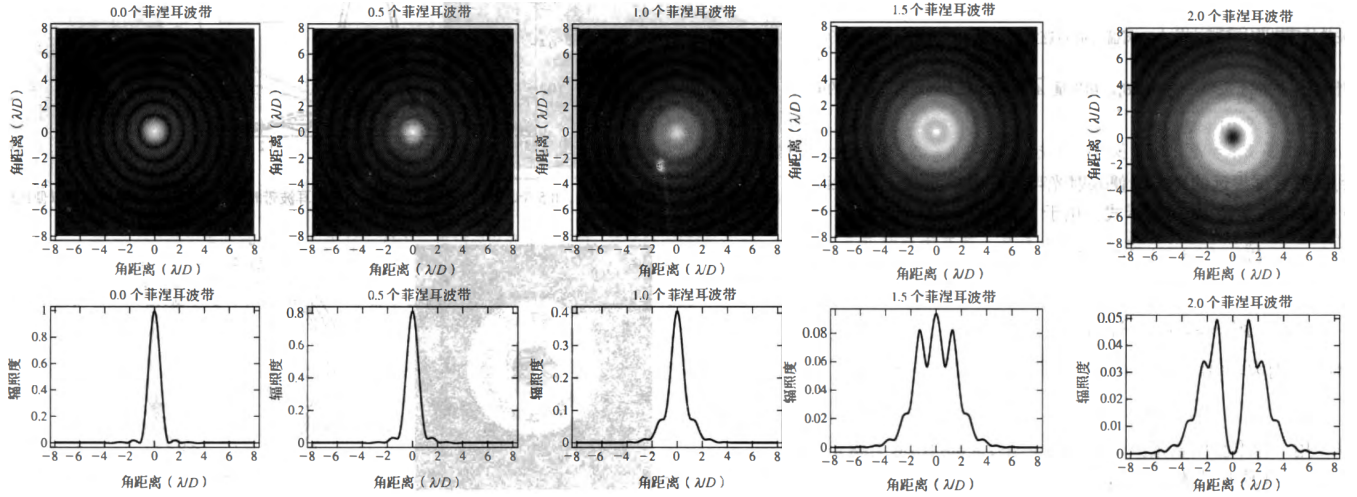


图 4.4: 圆孔内“观察”到的波带

图 4.5: 不同菲涅尔数  $N_F$  时的圆孔衍射图样

可以看到, 当  $N_F \rightarrow 0$  时 (即  $N_F \gg 1$ ), 发生夫琅禾费衍射, 这实质上是夫琅禾费衍射的另一种判别方法; 当  $N_F \geq 1$  时, 发生菲涅尔衍射。特别地, 对于环形孔, 我们也可以借助振动曲线来分析, 如下图:

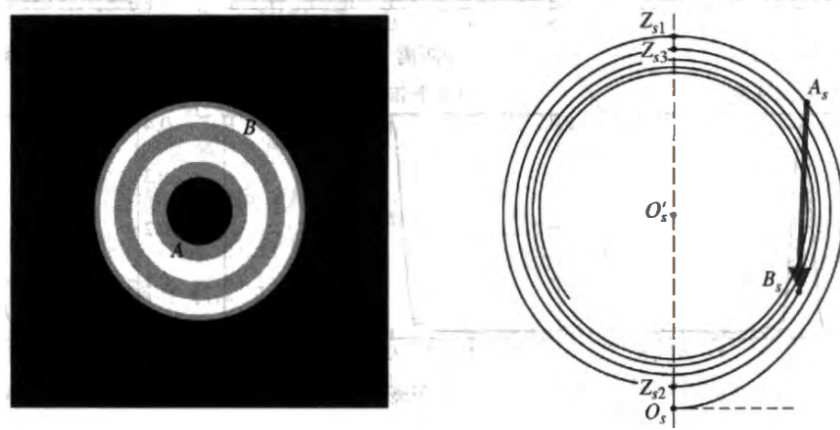


图 4.6: 透光圆环中心轴上的菲涅尔衍射情况

图 4.6 是一个包含  $\frac{1}{3} + 3 + \frac{1}{3}$  个波带的环形孔, 中心波带 (第一波带) 被圆盘挡住大约  $\frac{2}{3}$  (剩余  $\frac{1}{3}$ ), 振动曲线的  $A_s$  和  $B_s$  分别对应图中 A 点和 B 点。由合成结果知道, 相矢量  $\overrightarrow{A_s B_s}$  给出了振幅的大小和相位。

### (3) 圆盘近场衍射

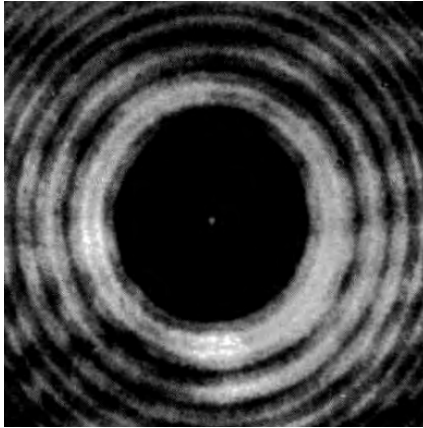
我们知道, 一个未受阻碍的波有无穷多个波带到达 P 点 (中轴线上一点), 在此处产生一个大小约为第一波带一半的电场, 即  $E \approx \frac{1}{2}E_1$ 。如果障碍物正好盖住第一波带, 在振动曲线中减去第一波带的贡献, 此

时的电场  $E' = -\frac{1}{2}E_1$ , 这表明障碍物的加入不会改变点  $P$  的亮暗状态 (仍是亮斑)。

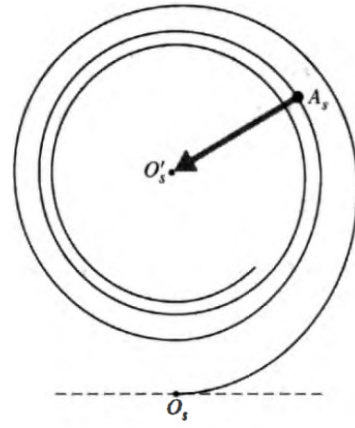
用类似的思想, 如果障碍物从无开始, 逐渐遮住  $1, 2, \dots, n$  个波带, 这相当于对给定的圆屏, 点  $P$  由无穷远向圆盘靠近。由振动曲线可看出, 除非  $n$  非常大 ( $P$  离圆盘很近), 相矢量  $\overrightarrow{A_s B_s}$  的振幅始终不 (近似) 为 0。这表明除了紧挨着圆盘之后的一小段, 中轴线上处处为亮点 (辐照度始终不为 0), 但可能是 (与圆盘平行的) 平面上的极小值。遮住前  $n$  个波带时的电场可写为:

$$E = \frac{1}{2}E_{n+1} = (-1)^n K_{n+1} \frac{\varepsilon_A \rho_0 \lambda}{\rho_0 + r_0} e^{i(k(\rho_0 + r_0) - \omega t)} = (-1)^n K_n E_0 \quad (4.5)$$

其中  $E_0$  是无阻挡时的电场,  $K_n$  是第  $n$  级波带法线与中轴线的夹角, 随着  $n$  的增大, 夹角逐渐向  $\pi$  靠近。放到图 4.7 (b) 中, 便是点  $A_s$  逆时针绕振动不断旋转, 随着  $N_F$  的增大, 逐渐向中心点  $O'_s$  靠近, 直到  $A_s$  和  $O'_s$  重合,  $|E| = 0$ 。



(a) 直径为 3 mm 滚珠的衍射图样



(b) 圆盘衍射时振动曲线上的相矢量

图 4.7: 圆盘障碍物衍射

## 4.2 讨论光栅的自由光谱范围。

光栅方程为:

$$a(\sin \theta_m - \sin \theta_i) = m\lambda, \quad m = 0, \pm 1, \pm 2, \dots \quad (4.6)$$

其中  $a$  是光栅常数, 表示两相邻狭缝的间距, 即周期长度。以垂直于光栅平面的直线为法线,  $\theta_i$  是入射角而  $\theta_m$  是第  $m$  级 (极大) 衍射角。对于正入射的情况,  $\theta_i = 0 \Rightarrow m < \frac{a}{\lambda}$ , 对于自准直装置,  $\theta_i = -\theta_m \Leftarrow m < \frac{2a}{\lambda}$ 。

考虑光栅的自由光谱范围, 由于波长小 (频率高) 的光谱线更密集, 当  $\lambda_0 - \frac{\Delta\lambda}{2}$  的第  $m+1$  级与  $\lambda_0 + \frac{\Delta\lambda}{2}$  的第  $m$  级重合时, 达到自由光谱范围  $(\Delta\lambda)_{\text{fsr}}$ :

$$\begin{cases} a(\sin \theta_m - \sin \theta_i) = (m+1) \left( \lambda_0 - \frac{\Delta\lambda}{2} \right) \\ a(\sin \theta_m - \sin \theta_i) = m \left( \lambda_0 + \frac{\Delta\lambda}{2} \right) \end{cases} \Rightarrow (\Delta\lambda)_{\text{fsr}} = \frac{\lambda_0}{m} \quad (4.7)$$

上面所有公式中的级数  $m$  在范围  $[0, \frac{2a}{\lambda}]$  内。由此可得到各参数在不同要求下的最值, 这与当初 F-P 时的讨论类似, 我们不多赘述。



4.3 波长为 634.8 nm 的平行光射向直径为 2.76 mm 的圆孔, 与孔相距 1 m 处放一屏。回答下面两个问题: (1) 屏上正对圆孔中心的  $P$  点是亮点还是暗点? (2) 要使  $P$  点变成与 (1) 相反的情况, 至少要把屏幕分别向前或向后移动多少?

(1) 屏上正对圆孔中心的  $P$  点是亮点还是暗点?

计算菲涅尔数  $N_F$  :

$$N_F = \frac{\pi a^2}{A} = \frac{(\rho_0 + r_0)a^2}{r_0 \rho_0 \lambda} \xrightarrow{\rho_0 \rightarrow \infty} \frac{D^2}{4r_0 \lambda} = \frac{(2.76 \text{ mm})^2}{4 \times 1 \text{ m} \times 634.8 \text{ nm}} = 3 \quad (4.8)$$

$N_F$  为奇数, 因此中心点是亮点。

(2) 要使  $P$  点变成与 (1) 相反的情况, 至少要把屏幕分别向前或向后移动多少?

$N_F$  为偶数时中心成暗点, 因此分别令  $N_F$  为 2 和 4, 得到:

$$r_0 = \frac{D^2}{4N_F \lambda} = 1.5 \text{ m}, \quad 0.75 \text{ m} \quad (4.9)$$

因此至少要把屏幕向  $P$  点移动 0.25 m, 或者把屏幕远离  $P$  点移动 0.5 m。

4.4 一波带片由五个环带组成, 第一环带是半径  $0 \sim r_1$  的不透明圆盘, 第二环带半径  $r_1 \sim r_2$  透明, 第三环带半径  $r_2 \sim r_3$  不透明, 第四环带半径  $r_3 \sim r_4$  透明, 第五环带是  $r_4 \sim \infty$  的不透明区域。用波长 500 nm 的平行单色光照明, 最亮的像点在距波带片 1 m 的轴上, 试求: (1)  $r_1$ ; (2) 像点的光强; (3) 其它光强极大值出现在轴上的哪些位置?

(1) 求  $r_1$

由题意知主焦距  $f = 1 \text{ m}$ , 因此:

$$f = \frac{R_1^2}{\lambda} \Rightarrow R_1 = \sqrt{f\lambda} = \sqrt{1 \text{ m} \times 500 \text{ nm}} = 0.7071 \text{ mm} \quad (4.10)$$

(2) 求像点的光强

像点是第一焦点, 波带片如图 4.8 所示。

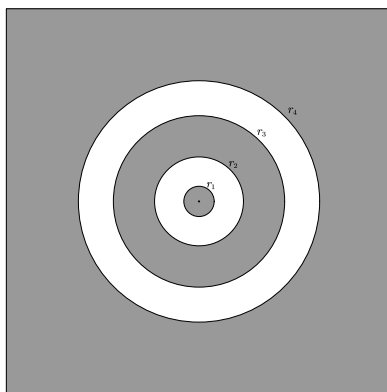


图 4.8: 题意中的波带片

设没有阻挡时的辐照度为  $I_0$ , 由于波带片透过第 2 和第 4 个 (半) 环带, 因此振幅和辐照度为:

$$E = 2E_1 = 4E_0 \Rightarrow I = 16I_0 \quad (4.11)$$

(3) 其它光强极大值出现在轴上的哪些位置?

还是先给出结论, 再做详细的讨论:

记主焦点 (第一焦点) 位于  $r = f_1$  处, 辐照度为  $I_1$ , 则波带片的所有焦点及其辐照度大小是:

$$f_1 = \frac{R_1^2}{\lambda}, \quad E_1 \approx nE_0, \quad I_1 \approx n^2 I_0 \quad (4.12)$$

$$f_k = \frac{f_1}{k}, \quad I_k = \frac{I_1}{k^2}, \quad k = 1, 3, 5, \dots \quad (4.13)$$

由图 4.9 (a), 我们先来计算各波带的半径。

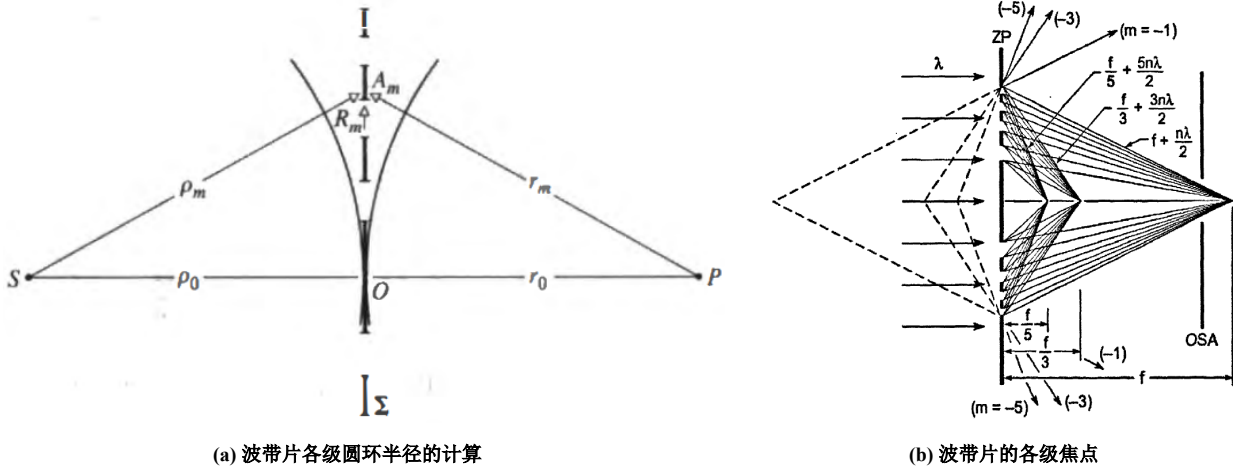


图 4.9: 波带片

将第  $m$  个波带的外缘标以点  $A_m$ , 按定义, 路程  $S-A_m-P$  的光程应当比  $S-O-P$  要大  $\frac{m\lambda}{2}$ , 也即:

$$(\rho_m + r_0) - (\rho_0 + r_0) = m \frac{\lambda}{2} \quad (4.14)$$

作泰勒展开  $\rho_m = \rho_0 + \frac{R_m^2}{2\rho_0}$  和  $r_m = r_0 + \frac{R_m^2}{2r_0}$ , 代入得到:

$$R_m = \sqrt{\frac{m\lambda}{\frac{1}{\rho_0} + \frac{1}{r_0}}} \xrightarrow{\rho_0 \rightarrow \infty} \sqrt{mr_0\lambda} \quad (4.15)$$

更精确的公式<sup>②</sup>是  $R_m = \sqrt{mr_0\lambda + \frac{m^2\lambda^2}{4}}$ , 式中  $\frac{m^2\lambda^2}{4}$  代表球差。

是上面, 我们依据“在点  $r_0$  的各波带振幅相互加强”的原则, 得到了波带片的各级半径, 使得点  $P$  是中轴线上光强最大的一点, 此时点  $P$  称为主焦点或一级焦点, 距离  $r_0$  也相应的记作  $f$  或  $f_1$ , 有:

$$f_1 = \frac{R_1^2}{\lambda} \Rightarrow \frac{1}{\rho_0} + \frac{1}{r_0} = \frac{1}{f} \quad (4.16)$$

<sup>②</sup>由参考文献 [?] Page 3 给出



与薄透镜公式有相同的形式, 因此, 用一束光准直入射给定的波带片 (起到  $\rho_0 \rightarrow \infty$  的作业), 此时中轴线上最亮的点就是主焦距, 它是辐照度分布中的一个极大值 (也是最大值), 因为在  $f$  处波带片上的各圆环刚好和波阵面上的各波带重合。

需要注意, 上面的“ $n$  级半径”并不是波带片的最大圆环半径, 对有  $n_0$  个圆环的挡光型波带片而言 (中心圆算第一个圆环), 无穷远处不透光, 最外围的第  $n_0$  级圆环 ( $R_{n_0-1} \sim R_{n_0}$ ) 是透光的, 则式中的  $n = n_0$ ; 对透光型波带片而言 (如图 ?? 所示的正负菲涅尔波带片), 无穷远处透光, 最外围的第  $n$  级圆环 ( $R_{n_0-1} \sim R_{n_0}$ ) 是不透光的, 因此需要再往外“扩张一个半径”, 式中的  $n = n_0 + 1$ 。当然, 实际中的  $n_0$  一般都较大 (100 以上), 即使不考虑也几乎没有误差。

为什么我们要说是“一级”焦距? 因为波带片本质上还是一个光栅, 它 (在中轴线上) 的衍射图样是一系列的主焦点和次焦点交替出现 (次焦点都比主焦点近), 如图 4.9 (b) 所示。下面我们推导这些次焦点的位置和辐照度大小。

只需考虑  $r = \frac{f}{k}, k = 2, 3, 4, \dots$  时的情况, 其余情况介于两者中间, 可定性地判断辐照度的大小变化, 且稍后能轻易知道它们都不是极值点。对于给定的  $k$ , 点  $P$  与波带距离  $r = \frac{f}{k}$ , 我们保持波带片的直径  $D$  不变, 当距离变为原来的  $\frac{1}{k}$ , 由  $R_m = \sqrt{mr\lambda}$  知道,  $P$  点“看到”的各波带半径变为原来的  $\frac{1}{\sqrt{k}}$ 。之前  $r = f$  时波带片共有  $n$  个半径, “孔” (波带片) 的直径没变, 而波带半径缩小为原来的  $\frac{1}{\sqrt{k}}$ , 因此在点  $P$  “看到”的波带由  $n$  个增长至  $kn$  个。

记  $r = \frac{f}{k}$  时,  $P$  点“看到”的一系列波带半径为  $R_j^{(k)}, k = 1, 2, 3, j = 1, 2, \dots, kn$ , 将它们的相对大小 ( $\frac{R_j^{(k)}}{R_1^{(1)}}$ ) 如表 4.1 一样列出, 一切都会变得显然:

表 4.1:  $r = \frac{f}{k}, k = 1, 2, 3, \dots$  时孔内一系列波带的相对半径及位置关系

$k = 1$	1	$\sqrt{2}$	$\sqrt{3}$	...	$\sqrt{n}$
$k = 2$	$(\frac{\sqrt{1}}{\sqrt{2}}, 1)$	$(\frac{\sqrt{3}}{\sqrt{2}}, 2)$	$(\frac{\sqrt{5}}{\sqrt{2}}, \sqrt{3})$	...	$(\frac{\sqrt{2n-1}}{\sqrt{2}}, \sqrt{n})$
$k = 3$	$(\frac{\sqrt{1}}{\sqrt{3}}, \frac{\sqrt{2}}{\sqrt{3}}, 1)$	$(\frac{\sqrt{4}}{\sqrt{3}}, \frac{\sqrt{5}}{\sqrt{3}}, \sqrt{2})$	$(\frac{\sqrt{7}}{\sqrt{3}}, \frac{\sqrt{8}}{\sqrt{3}}, \sqrt{3})$	...	$(\frac{\sqrt{3n-1}}{\sqrt{3}}, \frac{\sqrt{3n-2}}{\sqrt{3}}, \sqrt{n})$
$k = 4$	$(\frac{\sqrt{1}}{\sqrt{4}}, \frac{\sqrt{2}}{\sqrt{4}}, \frac{\sqrt{3}}{\sqrt{4}}, 1)$	$(\frac{\sqrt{5}}{\sqrt{4}}, \frac{\sqrt{6}}{\sqrt{4}}, \frac{7}{\sqrt{4}}, \sqrt{2})$	$(\frac{\sqrt{9}}{\sqrt{4}}, \frac{\sqrt{10}}{\sqrt{4}}, \frac{\sqrt{11}}{\sqrt{4}}, \sqrt{3})$	...	$(\frac{\sqrt{4n-1}}{\sqrt{4}}, \frac{\sqrt{4n-2}}{\sqrt{4}}, \frac{\sqrt{4n-3}}{\sqrt{4}}, \sqrt{n})$

可以看到, 当  $k$  是奇数时, 波带片的一个圆环内透过奇数个相邻波带, 抵消之后仍剩一个波带的振幅, 呈现亮斑; 当  $k$  是偶数时, 波带片的一个圆环内透过偶数个相邻波带, 抵消之后剩下的是零振幅, 呈现暗斑。因此, 波带片的所有焦点位置是  $\frac{f}{1}, \frac{f}{3}, \frac{f}{5}, \dots$ 。

再来看辐照度大小, 在  $k$  为奇数的情况下, 每个波带片环相当于只透过一个波带, 由  $A = \pi r_0 \lambda$  知道波带面积缩小为原来的  $\frac{1}{k}$ , 因此电场振幅变为原来的  $\frac{1}{k}$ , 辐照度变为原来的  $\frac{1}{k^2}$ 。综上, 波带片的所有焦点和辐照度大小是:

$$f_1 = \frac{R_1^2}{\lambda}, \quad E_1 \approx nE_0, \quad I_1 \approx n^2 I_0 \quad (4.17)$$

$$f_k = \frac{f_1}{k}, \quad I_k = \frac{I_1}{k^2}, \quad k = 1, 3, 5, \dots \quad (4.18)$$

式中  $n$  为波带片最外圆的半径级数, 也即波带片圆环总个数,  $E_0$  和  $I_0$  分别是无阻挡时的振幅和辐照度。

**4.5** 一束波长为  $500\text{ nm}$  的平行光垂直照射在一个单缝上, 如果所用的单缝的宽度  $a = 0.5\text{ mm}$ , 缝后紧挨着的薄透镜焦距  $f = 1\text{ m}$ , 试求: (1) 中央明条纹的角宽度; (2) 中央亮纹的线宽度; (3) 第一级与第二级暗纹的距离。

本题中的计算都可以借助近似来完成, 但考虑到手边有计算机, 我们还是取原公式来精确计算。从计算结果我们也可以看到, 在小角近似下的误差是非常小的。

### (1) 中央明条纹的角宽度

计算菲涅尔数  $N_F$ :

$$N_F = \frac{b^2}{f\lambda} = \frac{(0.5\text{ mm})^2}{1\text{ m} \times 500\text{ nm}} = 0.5 \quad (4.19)$$

可以近似认为发生的是夫琅禾费衍射。由夫琅禾费单缝衍射公式:

$$I = I(0) \text{sinc}^2 \beta, \quad \beta = \frac{1}{2} kb \sin \theta \quad (4.20)$$

可以推得全峰角宽度  $\xi_\theta$ :

$$I = I(0) \text{sinc}^2 \beta = I(0) \text{sinc}^2 \left( \frac{\pi b}{\lambda} \sin \theta \right) = I(0) \text{sinc}^2 (N\pi \sin \theta) \quad (4.21)$$

$$b \sin \theta_0 = \lambda \implies \xi_\theta = 2\theta_0 = 2 \arcsin \left( \frac{\lambda}{b} \right) = 2 \arcsin \left( \frac{1}{N} \right) \quad (4.22)$$

代入数据:

$$\xi_\theta = 2 \arcsin \left( \frac{500\text{ nm}}{0.5\text{ mm}} \right) = 0.00200000033\text{ rad} \approx 0.0020\text{ rad} \quad (4.23)$$

### (2) 中央亮纹的线宽度

借助狭缝中心点在屏幕上的成像, 可以帮助我们推导辐照度随位置  $z$  的分布。可以计算中央极大的全峰线宽度  $\xi_z$ :

$$\sin \theta_0 = \frac{\lambda}{b} \implies \xi_z = 2f \tan \theta_0 = 2f \frac{\sin \theta_0}{\sqrt{1 - \sin^2 \theta_0}} = \frac{2f}{\sqrt{N^2 - 1}}, \quad N = \frac{b}{\lambda} \quad (4.24)$$

代入数据:

$$N = \frac{0.5\text{ mm}}{0.5\text{ }\mu\text{m}} = 1000 \implies \xi_z = \frac{2 \times 1\text{ m}}{\sqrt{1000^2 - 1}} = 0.0020000010\text{ m} \approx 2.0\text{ mm} \quad (4.25)$$

### (3) 第一级与第二级暗纹的距离

由单缝夫琅禾费衍射公式, 可得极小值 (暗斑) 对应的角度:

$$b \sin \theta_m = m\lambda \implies \sin \theta_m = \frac{m\lambda}{b}, \quad m = 1, 2, \dots \quad (4.26)$$

于是第一级和二级暗斑距离为:

$$\Delta x = f \tan \theta_2 - f \tan \theta_1 = f \left[ \frac{\sin \theta_2}{\sqrt{1 - \sin^2 \theta_2}} - \frac{\sin \theta_1}{\sqrt{1 - \sin^2 \theta_1}} \right], \quad \sin \theta_1 = \frac{\lambda}{b}, \quad \sin \theta_2 = \frac{2\lambda}{b} \quad (4.27)$$

代入数据:

$$\Delta x = 0.00100000350\text{ m} \approx 1.0\text{ mm} \quad (4.28)$$

#### 4.6 一束白光垂直照射在一光栅上, 在形成的同一级光栅光谱中, 偏离中央明纹最远的是红光还是蓝光? 为什么?

由单缝夫琅禾费衍射公式, 可得极大值 (亮斑) 对应的角度:

$$b \sin \theta_m = \left(m + \frac{1}{2}\right) \lambda, \quad m = 1, 2, \dots \quad (4.29)$$

从蓝光到红光, 随着  $\lambda$  的增大, 同级下的  $\theta_m$  也增大, 因此红光散射角度更大, 偏离中央明纹最远的是红光。

#### 4.7 波长为 600 nm 的单色光垂直入射在一光栅上, 第二级明纹出现在 $\sin \theta_2 = 0.2$ 处, 第 4 级为第一个缺级。求 (1) 光栅上相邻两缝的距离是多少? (2) 狭缝可能的最小宽度是多少? (3) 在该最小宽度下, 实际上能观察到的全部明纹数是多少?

##### (1) 光栅上相邻两缝的距离是多少?

要相邻两缝的中心距离, 即求光栅常数  $a$ 。由光栅方程:

$$a(\sin \theta_m - \sin \theta_i) = m\lambda, \quad m = 0, \pm 1, \pm 2, \dots \Rightarrow a = \frac{2\lambda}{\sin \theta_2} = 6 \mu\text{m} \quad (4.30)$$

##### (2) 狭缝可能的最小宽度是多少?

当光栅是多缝光栅时, 可以考虑狭缝宽度的概念。设光栅有  $N_s$  条多缝, 有多缝夫琅禾费衍射公式:

$$I = I(0) \text{sinc}^2 \beta \frac{\sin^2 N_s \alpha}{N_s^2 \sin^2 \alpha}, \quad \beta = \frac{1}{2} kb \sin \theta, \quad \alpha = \frac{1}{2} ka \sin \theta \quad (4.31)$$

设  $m = \frac{a}{b}$ , 由于第 4 极大是第一个缺级, 因此  $m = 4$ , 得到:

$$b = \frac{a}{4} = 1.5 \mu\text{m} \quad (4.32)$$

当然,  $m$  可以适当的有一些变化范围, 我们取  $m \in [3.5, 4.5]$ , 可以得到:

$$b \in [1.33 \mu\text{m}, 1.71 \mu\text{m}] \Rightarrow b_{\min} = 1.3 \mu\text{m} \quad (4.33)$$

##### (3) 在该最小宽度下, 实际上能观察到的全部明纹数是多少?

若  $b = 1.5 \mu\text{m}$ , 此时  $m = 4$ , 实际能观察到的全部明纹数 (主衍射峰内的极大, 不包括缺级部分) 为  $2m - 1 = 7$  条。但是在  $b_{\min} = 1.33 \mu\text{m}$  下,  $m = 4.5$ , 不好确定能观察到的明纹数, 因此我们直接作出图像:

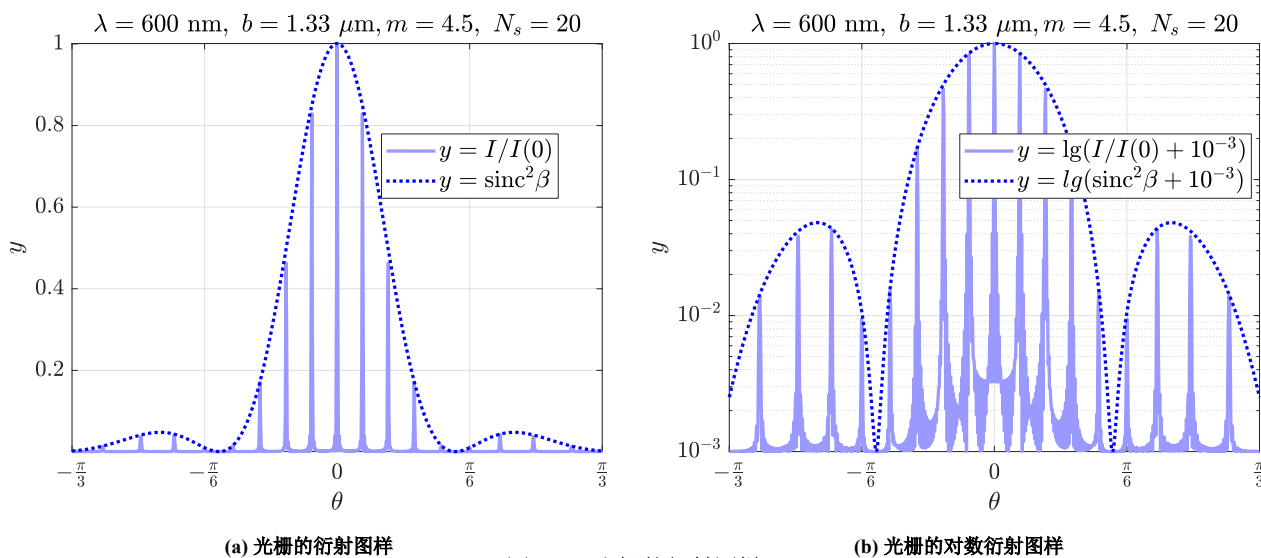


图 4.10: 光栅的衍射图样

由图可知,  $b_{\min} = 1.33 \mu\text{m}$  时 ( $m = 4.5$ ), 实际上能看到 7 条明纹, 分别是  $0, \pm 1, \pm 2, \pm 3$  级明纹。

# 附录 A Matlab 代码

## A.1 图 2.1 源码

```

1  %%%%%%%%% 空气入射玻璃 %%%%%%%%%
2  global n_i n_t
3  n_i = 1;
4  n_t = 1.5;
5
6  theta_t = @(theta_i) asin(n_i/n_t*sin(theta_i));
7  r_s = @(theta_i, theta_t) - sin(theta_i - theta_t)./sin(theta_i + theta_t);
8  r_p = @(theta_i, theta_t) + tan(theta_i - theta_t)./tan(theta_i + theta_t);
9  t_s = @(theta_i, theta_t) 2*sin(theta_t).*cos(theta_i)./sin(theta_i + theta_t);
10 t_p = @(theta_i, theta_t) 2*sin(theta_t).*cos(theta_i) ./ ( sin(theta_i + theta_t).*cos
    (theta_i - theta_t) );
11 theta_B = atan(n_t/n_i);
12 theta_C = asin(n_t/n_i);
13
14 theta_array = linspace(-0.1, pi/2, 101);
15 Y = [
16     r_s(theta_array, theta_t(theta_array))
17     r_p(theta_array, theta_t(theta_array))
18     t_s(theta_array, theta_t(theta_array))
19     t_p(theta_array, theta_t(theta_array))
20 ];
21 stc = MyPlot(theta_array, Y);
22 xline(theta_B, 'b')
23 yline(0)
24 xlim([0, pi/2])
25 ylim([-1, 1])
26 stc.legend.String = ['$r_s$'; '$r_p$'; '$t_s$'; '$t_p$'; '$\theta_i = \theta_B$'];
27 stc.legend.Interpreter = "latex";
28 stc.legend.FontSize = 14;
29 stc.legend.Location = "southwest";
30 stc.axes.Title.String = '$n_i = 1 < n_t = 1.5$';
31 stc.axes.Title.Interpreter = "latex";
32 stc.label.x.String = '$\theta_i$';
33 stc.label.y.String = '$r$';
34 stc.plot.plot_3.LineStyle = ":";
35 stc.plot.plot_3.Color = 'b';
36 stc.plot.plot_4.LineStyle = ":";
37 stc.plot.plot_4.Color = [1 0 1];
38 %MyExport_pdf
39
40 %%%%%%%%% 玻璃入射空气 %%%%%%%%%
41 n_i = 1.5;
42 n_t = 1;
43

```

```

44 theta_t = @(theta_i) asin(n_i/n_t*sin(theta_i));
45 r_s = @(theta_i, theta_t) - sin(theta_i - theta_t)./sin(theta_i + theta_t);
46 r_p = @(theta_i, theta_t) + tan(theta_i - theta_t)./tan(theta_i + theta_t);
47 t_s = @(theta_i, theta_t) 2*sin(theta_t).*cos(theta_i)./sin(theta_i + theta_t);
48 t_p = @(theta_i, theta_t) 2*sin(theta_t).*cos(theta_i) ./ ( sin(theta_i + theta_t).*cos
    (theta_i - theta_t) );
49 theta_B = atan(n_t/n_i);
50 theta_C = asin(n_t/n_i);
51
52
53 theta_array = linspace(0, theta_C, 101);
54 Y = [
55     r_s(theta_array, theta_t(theta_array))
56     r_p(theta_array, theta_t(theta_array))
57     t_s(theta_array, theta_t(theta_array))
58     t_p(theta_array, theta_t(theta_array))
59 ];
60 stc = MyPlot(theta_array, Y);
61 xline(theta_B, 'b')
62 xline(theta_C, 'r')
63 yline(0)
64 xlim([0, pi/2])
65 ylim([-0.5, 3])
66 stc.legend.String = ["$r_s$"; "$r_p$"; "$t_s$"; "$t_p$"; "$\theta_i = \theta_B$"; "$\theta_i = \theta_C$"];
67 stc.legend.Interpreter = "latex";
68 stc.axes.Title.String = '$n_i = 1.5 > n_t = 1$';
69 stc.axes.Title.Interpreter = "latex";
70 stc.label.x.String = '$\theta_i$';
71 stc.label.y.String = '$r$';
72 stc.plot.plot_3.LineStyle = ":";
73 stc.plot.plot_3.Color = 'b';
74 stc.plot.plot_4.LineStyle = ":";
75 stc.plot.plot_4.Color = [1 0 1];
76 %MyExport_pdf

```

## A.2 公式 2.5 源码

```

1 R_s = @(n_ti, t) ( (cos(t) - sqrt(n_ti^2 - sin(t)^2)) / (cos(t) + sqrt(n_ti^2 - sin(t)^2)) )^2;
2 R_p = @(n_ti, t) ( (n_ti^2*cos(t) - sqrt(n_ti^2 - sin(t)^2)) / (n_ti^2*cos(t) + sqrt(n_ti^2 - sin(t)^2)) )^2;
3
4 theta_B = @(n_ti) atan(n_ti);
5 n_ti = fzero(@(n_ti) 0.5*(R_s(n_ti, theta_B(n_ti)) + R_p(n_ti, theta_B(n_ti))) - 0.14, 1);

```

```

6
7 theta_C = @(n_ti) asin(n_ti);
8 theta_B = @(n_ti) atan(n_ti);
9 theta_t = @(n_ti, theta_i) asin(sin(theta_i)/n_ti);
10
11 disp(['n_ti = ', num2str(n_ti, '%.6f')])
12 disp(['theta_i = theta_B = ', num2str(theta_B(n_ti), '%.6f') ' rad = ', num2str(rad2deg(
    (theta_B(n_ti)), '%.6f'), ' deg' ]])
13 disp(['theta_t = ', num2str(theta_t(n_ti, theta_B(n_ti)), '%.6f') ' rad = ', num2str(
    rad2deg(theta_t(n_ti, theta_B(n_ti))), '%.6f'), ' deg' ]])
14 disp(['theta_C = ', num2str(theta_C(n_ti), '%.6f') ' rad = ', num2str(rad2deg(theta_C(
    n_ti)), '%.6f'), ' deg' ]])
15 disp(['R_s = ', num2str(R_s(n_ti, theta_B(n_ti)), '%.6f')])
16 disp(['R_p = ', num2str(R_p(n_ti, theta_B(n_ti)), '%.6f')])
17 disp(['T_s = ', num2str(1 - R_s(n_ti, theta_B(n_ti)), '%.6f')])
18 disp(['T_p = ', num2str(1 - R_p(n_ti, theta_B(n_ti)), '%.6f')])
19 disp(['R = ', num2str( 0.5*(R_s(n_ti, theta_B(n_ti)) + R_p(n_ti, theta_B(n_ti))) , '%.6
    f' )])
20 disp(['T = ', num2str( 0.5*(2 - R_s(n_ti, theta_B(n_ti)) - R_p(n_ti, theta_B(n_ti))), '
    %.6f' )])
21
22
23 %{
24 >> Output:
25 n_ti = 0.554902
26 theta_i = theta_B = 0.506599 rad = 29.025970 deg
27 theta_t = 1.064198 rad = 60.974030 deg
28 theta_C = 0.588245 rad = 33.703947 deg
29 R_s = 0.280000
30 R_p = 0.000000
31 T_s = 0.720000
32 T_p = 1.000000
33 R = 0.140000
34 T = 0.860000
35 %}

```

### A.3 公式 2.10 源码

```

1 R_s = @(n_ti, t) ( (cos(t) - sqrt(n_ti^2 - sin(t)^2)) / (cos(t) + sqrt(n_ti^2 - sin(t)
    ^2)) )^2;
2 R_p = @(n_ti, t) ( (n_ti^2*cos(t) - sqrt(n_ti^2 - sin(t)^2)) / (n_ti^2*cos(t) + sqrt(
    n_ti^2 - sin(t)^2)) )^2;
3
4 theta_i = fzero(@(t) ( R_s(1.5, t) + R_p(1.5, t) - 2*0.14) , deg2rad(45));
5 disp(['theta_i = ', num2str(theta_i, '%.6f'), ' rad'])
6 disp(['theta_i = ', num2str(rad2deg(theta_i), '%.6f'), ' deg'])

```

```

7  disp(['R_s = ', num2str(R_s(1.5, theta_i), '%.6f')])
8  disp(['R_p = ', num2str(R_p(1.5, theta_i), '%.6f')])
9  disp(['T_s = ', num2str(1 - R_s(1.5, theta_i), '%.6f')])
10 disp(['T_p = ', num2str(1 - R_p(1.5, theta_i), '%.6f')])
11 disp(['R = ', num2str( 0.5*(R_s(1.5, theta_i) + R_p(1.5, theta_i)) , '%.6f')])
12 disp(['T = ', num2str( 0.5*(2 - R_s(1.5, theta_i) - R_p(1.5, theta_i)), '%.6f')])
13
14 %{
15 >> Output:
16 theta_i = 1.173220 rad
17 theta_i = 67.220559 deg
18 R_s = 0.256933
19 R_p = 0.023067
20 T_s = 0.743067
21 T_p = 0.976933
22 R = 0.140000
23 T = 0.860000
24 %}

```

#### A.4 图 2.2 源码

```

1  R_s = @(n_ti, t) ( (cos(t) - sqrt(n_ti^2 - sin(t)^2)) / (cos(t) + sqrt(n_ti^2 - sin(t)
    ^2)) )^2;
2  R_p = @(n_ti, t) ( (n_ti^2*cos(t) - sqrt(n_ti^2 - sin(t)^2)) / (n_ti^2*cos(t) + sqrt(
    n_ti^2 - sin(t)^2)) )^2;
3  theta_B = @(n_ti) atan(n_ti);
4
5  eq_left = @(n_ti) 0.5*(R_s(n_ti, theta_B(n_ti)) + R_p(n_ti, theta_B(n_ti)))
6
7  X = linspace(0, 2, 100);
8  Y = zeros(size(X));
9  for i = 1:length(X)
10     Y(i) = eq_left(X(i));
11 end
12
13 stc = MyPlot(X, Y);
14 yline(0.14, 'Color', 'r', 'LineWidth', 0.4);
15 xline(0.554902, 'Color', [0.1, 0.1, 0.1], 'LineWidth', 0.4)
16 xline(1.802121, 'Color', [0.3, 0.3, 0.3], 'LineWidth', 0.4)
17 stc.axes.Title.String = '';
18 stc.label.x.String = '$n_{ti}$';
19 stc.legend.Location = 'northeast';
20 hold on
21 scatter([0.554902, 1.802121], [0.14, 0.14], 180, 'r')
22 stc.legend.String = ["$y = 0.5 \backslash left[ R_s(n_{ti}) + R_p(n_{ti}) \right] $" ; "$y = 0.14 $" ; "
    $n_{ti} = 0.554902 $" ; "$n_{ti} = 1.802121 $" ] ;

```

23 | %MyExport\_pdf